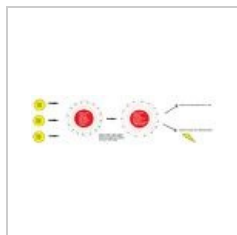


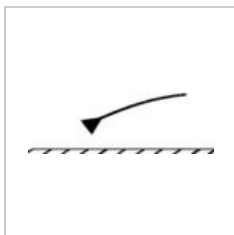
Kategorie: Biofyzikální schémata

Media in category "Biofyzikální schémata"

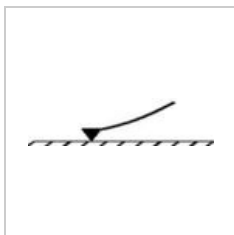
The following 109 files are in this category, out of 109 total.



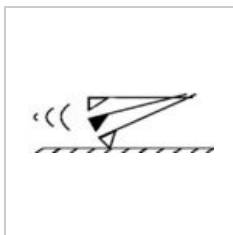
Absorbce zření.jpg
3,296 × 952; 394 KB



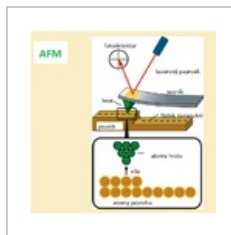
AFM - bezkontaktní...
354 × 118; 4 KB



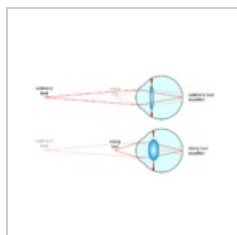
AFM - kontaktní ...
330 × 84; 3 KB



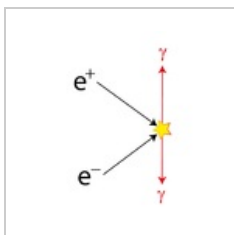
AFM - poklepy ...
366 × 118; 6 KB



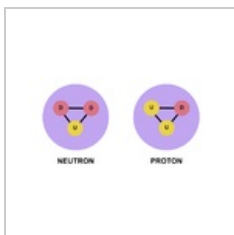
AFM.png
464 × 460; 93 KB



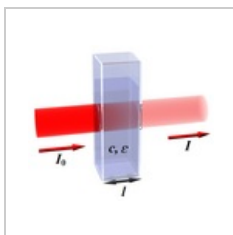
Akomodace oka....
960 × 540; 14 KB



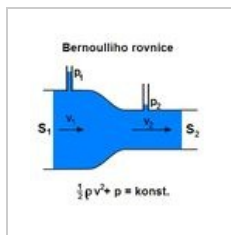
Anihilace.png
1,000 × 1,162; 37 KB



Baryon.png
1,000 × 500; 37 KB



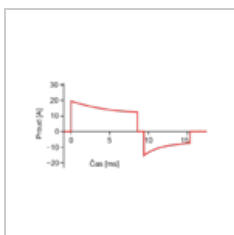
Beer lambert1.png
600 × 504; 117 KB



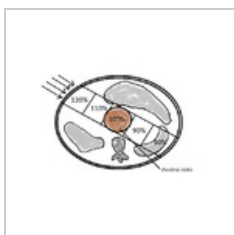
Bernou.jpg
436 × 426; 45 KB



BF.png
579 × 91; 6 KB



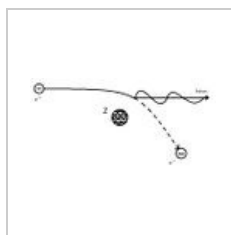
Bifazicka.png
650 × 360; 13 KB



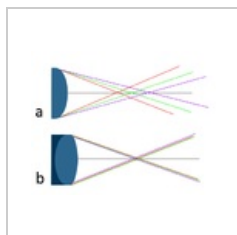
Biof.png
683 × 468; 76 KB



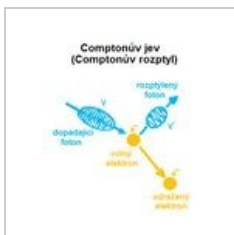
Biologicke metod...
1,166 × 848; 149 KB



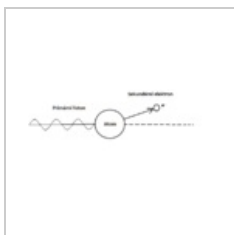
Brzdne zření.jpg
547 × 272; 16 KB



Chromaticka abe...
407 × 317; 22 KB



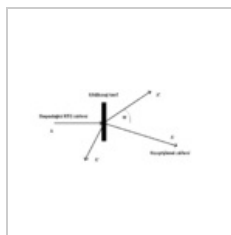
Compt. jev.jpg
307 × 360; 15 KB



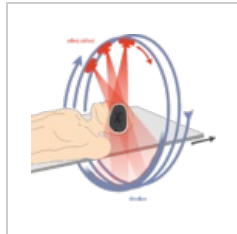
Compton1.png
840 × 418; 14 KB



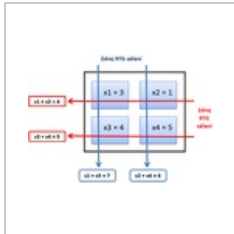
Compton2.png
840 × 418; 16 KB



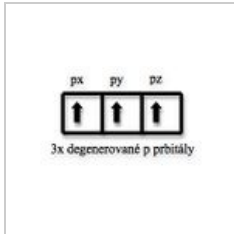
Compton3.png
840 × 418; 15 KB



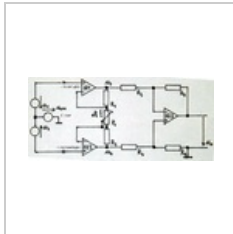
CT.png
1,919 × 1,754; 372 KB



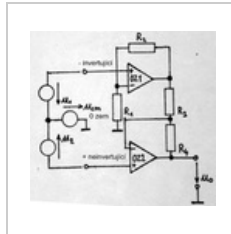
Ct.png
280 × 196; 19 KB



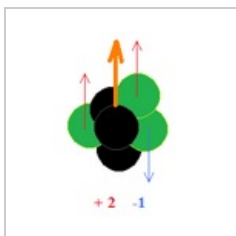
Degenerovane or...
254 × 142; 28 KB



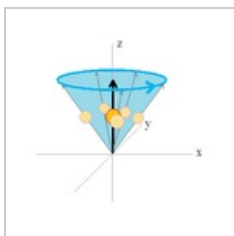
Diferencialni zesi...
800 × 360; 491 KB



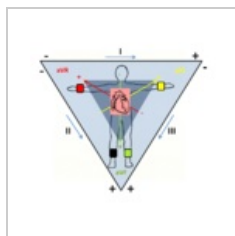
Diferencialni zesi...
400 × 376; 123 KB



Dipol.png
164 × 217; 3 KB



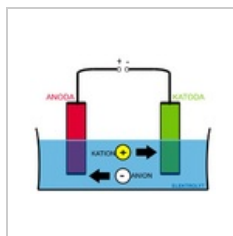
Dipolprecese.png
266 × 258; 5 KB



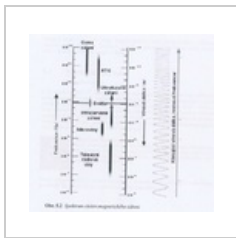
Einthoven.png
1,931 × 1,717;
1.26 MB



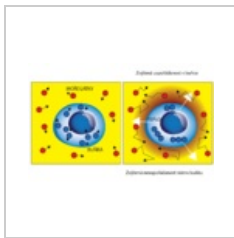
Ekt2.png
1,227 × 926; 1.65
MB



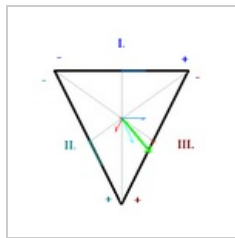
Elektrolyza.png
400 × 300; 31 KB



Elmg spektrum....
631 × 606; 433 KB



Entropie-01.png
1,214 × 774; 384
KB



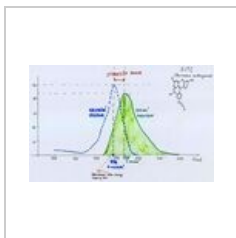
Eos ukazka.PNG
238 × 243; 4 KB



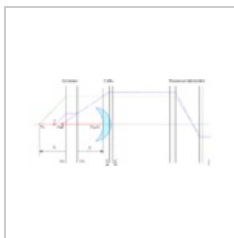
Eos.PNG
377 × 363; 8 KB



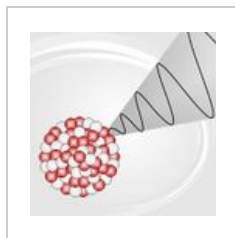
Evokované poten...
2,448 × 3,264;
2.06 MB



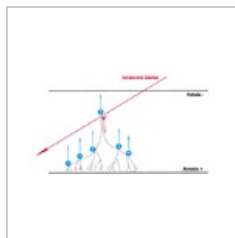
FITC excitacni a ...
1,920 × 1,207; 243
KB



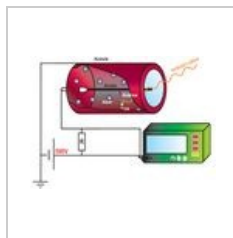
Fokometr.png
833 × 388; 47 KB



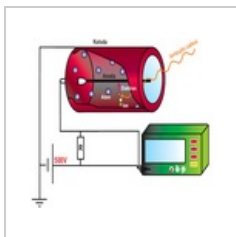
Gammaddecay-1.j...
600 × 593; 40 KB



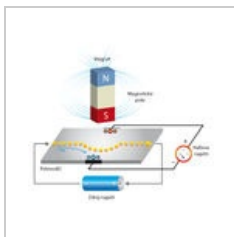
Geiger chema.png
550 × 298; 25 KB



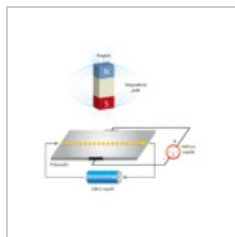
Geigeruv pocitac...
838 × 602; 134 KB



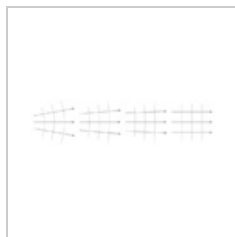
Geigeruv pocitac...
600 × 550; 114 KB



Hallův jev b.jpg
899 × 783; 130 KB



Hallův-jev 2 anim...
1,051 × 911; 111
KB



Huygens2.PNG
749 × 187; 18 KB

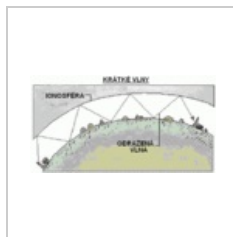
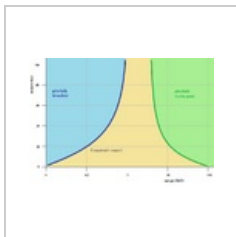
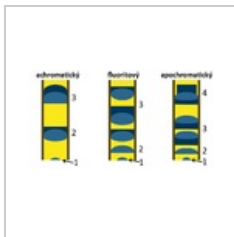


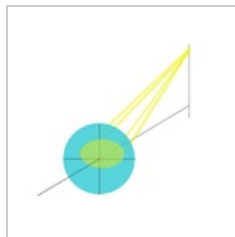
Image003.gif
589 × 310; 35 KB



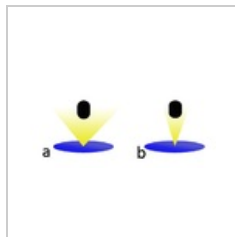
Inetrakcefoton.png
731 × 504; 19 KB



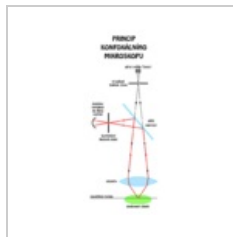
Julie cocky.png
903 × 508; 25 KB



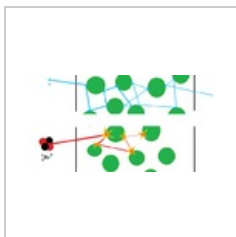
Koma.png
706 × 587; 40 KB



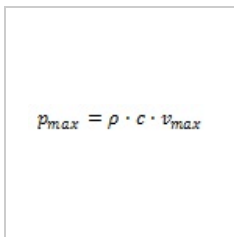
Kondenzatorova ...
386 × 194; 6 KB



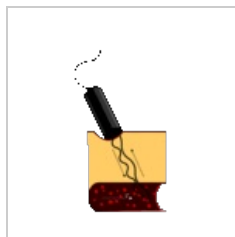
Konfokální mikro...
566 × 1,285; 29
KB



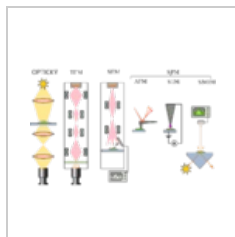
LET.png
628 × 329; 14 KB



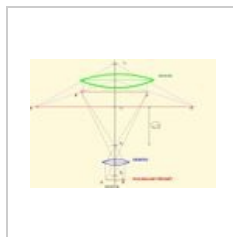
Maximální hodno...
119 × 25; 613
bytes



Michal2.gif
550 × 900; 1.55
MB



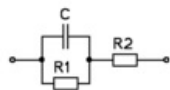
Mikroskop 1000...
1,000 × 719; 98
KB



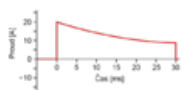
MIKROSKOP.jpg
693 × 480; 24 KB



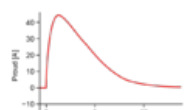
MIKROSKOP1.jpg
693 × 480; 23 KB



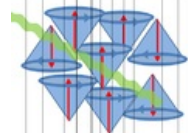
Model tkane.png
377 × 212; 2 KB



Monofazicka exp...
650 × 333; 12 KB



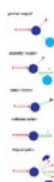
Monofazicka sinu...
650 × 462; 19 KB



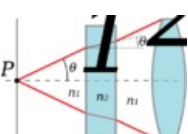
MRLamor.png
488 × 415; 38 KB



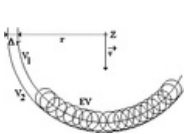
Nahodne dipoly.p...
464 × 384; 34 KB



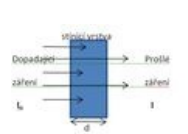
Neutronove inter...
259 × 738; 11 KB



Numerical apertu...
436 × 307; 12 KB



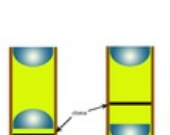
Obalová vlnoploc...
261 × 147; 3 KB



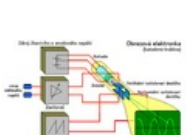
Obr zarení.jpg
800 × 489; 19 KB



Oktaedr.png
290 × 280; 25 KB



Okulary.png
940 × 599; 53 KB



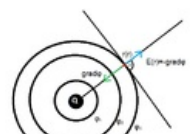
Osciloskop.png
570 × 351; 20 KB



Podélné vlnění.PNG
244 × 135; 5 KB



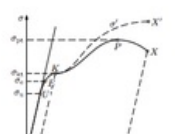
Polarizace světla,...
2,500 × 806; 257 KB



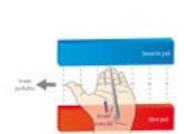
Pole.png
459 × 397; 11 KB



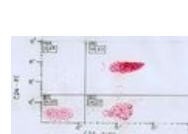
Polni clona.png
405 × 228; 18 KB



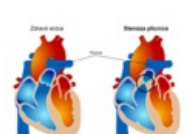
Prac diagram.png
214 × 190; 15 KB



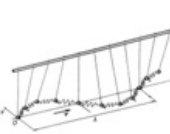
Pravidlo levé ruk...
1,051 × 749; 197 KB



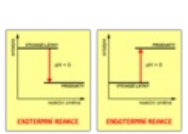
Prutokova cytom...
4,011 × 2,322; 995 KB



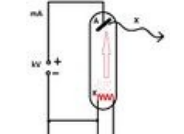
Pulmonary valve ...
616 × 440; 76 KB



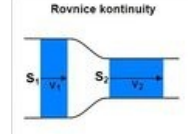
Příčné vlnění.PNG
224 × 134; 6 KB



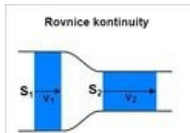
Reakce entalpie...
600 × 360; 26 KB



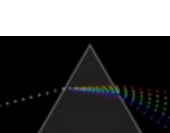
Rentgenka.jpg
312 × 400; 18 KB



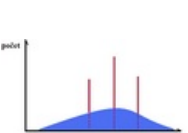
Rovnice kontinuit...
227 × 222; 5 KB



Rovnice kontinuit...
227 × 222; 5 KB



Rozklad světla.gif
200 × 124; 22 KB



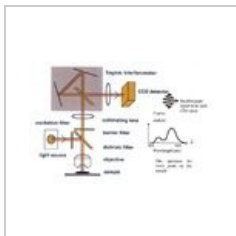
RTGspektrum.png
330 × 196; 6 KB

$$v_{dif} = -D \frac{dt}{dS}$$

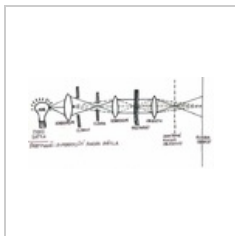
Rychlost difuze.p...
115 × 41; 842 bytes

$$f = \frac{Z_{\text{exponens}} \cdot \text{Exponens}}{f_{\text{Exponens}} \cdot \text{Exponens}}$$

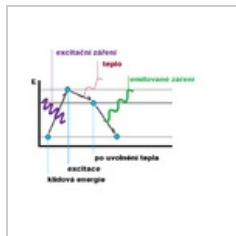
S.jpg
337 × 68; 4 KB



Sagnacův interfe...
921 × 603; 65 KB



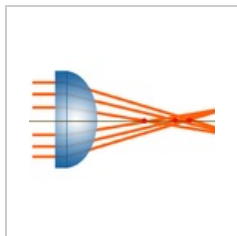
Schema fazovy ...
2,457 × 1,207;
1.32 MB



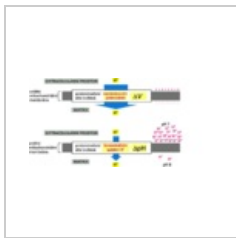
Schema-fluoresc...
438 × 358; 9 KB



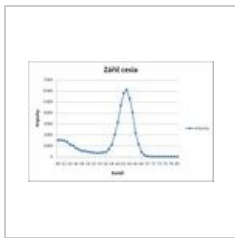
Schéma audiome...
2,772 × 2,366;
6.33 MB



Sfericka aberace...
647 × 461; 43 KB



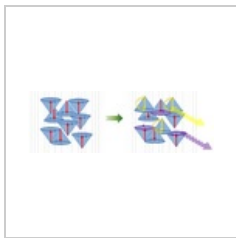
Složky elektroch...
865 × 413; 186 KB



Spektrum zářiče.j...
878 × 570; 66 KB



Spin castic.jpg
819 × 460; 94 KB



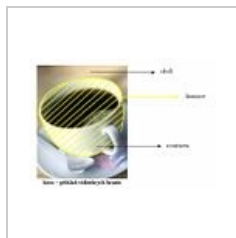
T1aT2.png
1,166 × 392; 81
KB

Tabulka kv. cisla....
606 × 371; 49 KB

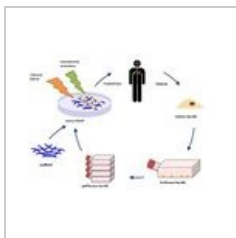
Tabulka.jpg
399 × 228; 44 KB



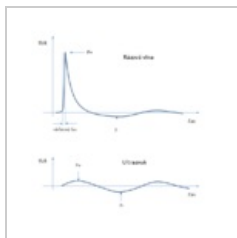
Tc-generator.png
434 × 766; 19 KB



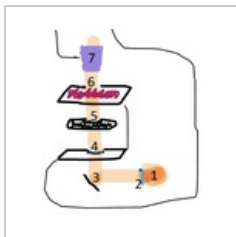
Termodynamicka...
493 × 349; 22 KB



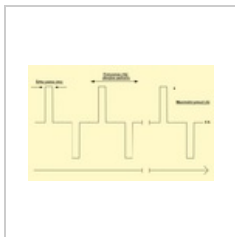
Tissue engineeri...
800 × 600; 66 KB



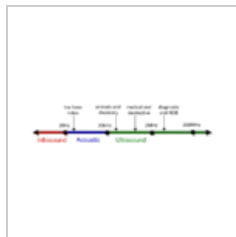
Tlak v RV a UZ3....
697 × 708; 12 KB



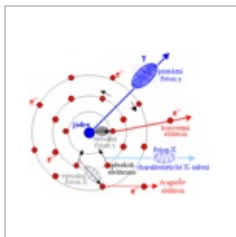
Tok svetla mikro...
321 × 366; 25 KB



Ubf.png
640 × 400; 17 KB



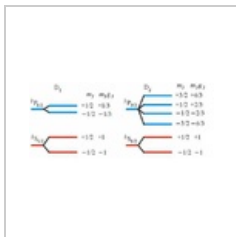
Ultrasound range...
481 × 114; 13 KB



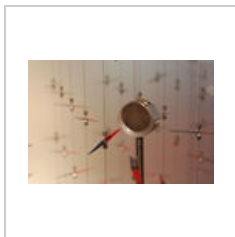
VnitriKonverze.gif
342 × 264; 8 KB

$$E = h \frac{c}{\lambda}$$

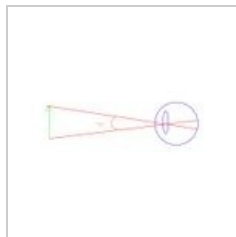
Vzorec.png
89 × 57; 964 bytes



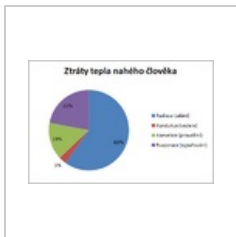
Zeemanův jev.png
504 × 220; 60 KB



Zorientované ma...
600 × 399; 39 KB



Zorný úhel1.jpg
595 × 289; 10 KB



Ztraty graf..png
457 × 303; 11 KB